



## بررسی خصوصیات حرارتی و رنگی الیاف سلولزی پوشش داده شده با نانو ذرات هیدروکسید آلمینیوم

محمد شاور<sup>۱</sup>، امیر کیومرثی<sup>۲\*</sup>، رامین خواجه‌جوی<sup>۳</sup>

۱- دانشجوی کارشناسی ارشد، باشگاه پژوهشگران جوان دانشگاه آزاد اسلامی واحد تهران جنوب، تهران، ایران، صندوق پستی: ۱۵۶۵۵-۴۶۱

۲- استادیار، گروه پژوهشی مواد رنگزای آلی، پژوهشگاه علوم و فناوری رنگ، تهران، ایران، صندوق پستی: ۱۶۷۶۵-۶۵۴

۳- استادیار، گروه مهندسی نساجی، دانشگاه آزاد اسلامی واحد تهران جنوب، تهران، ایران، صندوق پستی: ۱۱۳۶۵-۴۴۳۵

تاریخ دریافت: ۱۳۸۸/۷/۱۴      تاریخ پذیرش: ۱۳۸۸/۱۱/۳      در دسترس به صورت الکترونیکی از: ۱۳۸۸/۱۲/۲۰

### چکیده

در این تحقیق از نانوهیدروکسید آلمینیوم (ATH) به عنوان یک ماده تأثیرگذار شعله با غلظت‌های مختلف به منظور پوشش دهنی الیاف سلولزی استفاده شده و در ادامه پارامترهای مؤثر در فرآیند و همچنین تغییرات ایجاد شده در خصوصیات حرارتی و رنگی محصول توسط روش‌های DSC، SEM و اسپکتروفوتومتری انعکاسی مورد بررسی قرار گرفته است. بر اساس نتایج به دست آمده نانوهیدروکسید آلمینیوم به عنوان یک عامل دیررسوز‌کننده دوست‌دار محیط زیست مناسب برای کالای پنبه‌ای می‌تواند کاربرد داشته باشد. همچنین نتایج اسپکتروفوتومتری انعکاسی مؤید آن است که پوشش اعمال شده تأثیر نامطلوبی بر خصوصیات رنگی محصول ندارد. واژه‌های کلیدی: سلولز، نانوهیدروکسید آلمینیوم، پوشش دهنی، تأثیرگذار شعله، مؤلفه‌های رنگی.

## Thermal and Color Characteristics of Cellulosic Fabrics Coated with Nano Aluminum Hydroxide

M. Shaver<sup>1</sup>, A. Kiumarsi<sup>\*2</sup>, R. Khajavi<sup>3</sup>

<sup>1</sup> Young Research Club, Islamic Azad University South Tehran Branch, P.O. Box 15655-461, Tehran, Iran

<sup>2</sup> Department of Organic Colorants, Institute for Color Sciense and Technology, P.O. Box 16765-654, Tehran, Iran

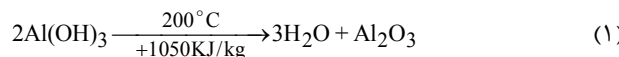
<sup>3</sup> Department of Textile, Islamic Azad University South Tehran Branch, P.O. Box 11365-4435, Tehran, Iran

### Abstract

In this study, cellulosic cotton fabrics were treated with different concentrations of nano aluminum hydroxide (ATH) dispersions. The optimum coating method of nano particles and the thermal and color characteristics of cellulosic fabrics were studied using SEM, TGA, DSC and reflectance spectrophotometry and the results were discussed. It was concluded that the ATH could be considered as a suitable envirmentaly friendly fire retardant for cotton. The results also show that the coating has only a small (if any) effect on the color coordinate values of the treated fabric. J. Color Sci. Tech. 3(2010), 267-275 © Institute for Color Science and Technology.

**Keywords:** Cellulose, Nano aluminum hydroxide (ATH), Coating, Flame retardant, Color coordinates.

۲۰۰ °C حرارت ببیند طی یک واکنش گرمائی تجزیه شده و تولید آب و اکسید آلومینیوم می‌کند (معادله ۱). در نتیجه این واکنش هم از انرژی محیط کاسته می‌شود ( $\Delta H = -1050 \text{ KJ/Kg}$ ) و هم به دلیل تولید آب و ظرفیت حرارتی بالایی که آب دارا می‌باشد دمای محیط کاهش یافته و اکسید آلومینیوم نیز سطح کالا را می‌پوشاند و علاوه بر آنکه مانع از رسیدن اکسیژن و گازهای اشتعال پذیر به آن می‌شود به عنوان یک عایق حرارتی بسیار خوب عمل کرده و از رسیدن حرارت بالای شعله به سطح کالا جلوگیری می‌کند [۷].



نانو ذرات هیدروکسید آلومینیوم در مورد برخی از ترکیبات پلیمری به عنوان ماده تأخیرانداز شعله مورد استفاده قرار گرفته است [۷]، اما استفاده از این ترکیب در مورد دیرسوز نمودن الیاف طبیعی امری نوین می‌باشد. در این تحقیق هدف پوشش دهی الیاف سلولزی پنبه توسط نانو ذرات هیدروکسید آلومینیوم و بررسی میزان پوشش دهی و همچنین خصوصیات حرارتی و رنگی این الیاف به وسیله آزمون‌های مختلف می‌باشد.

## ۲-بخش تجربی

### ۲-۱-مواد

در این تحقیق از پارچه ۱۰۰٪ پنبه‌ای ایرانی تاری-پودی سفیدگری شده (۱۰۰ g/m<sup>2</sup>) با نمره نخ ۲۰ تکس تار و ۱۶ پود، نانو پودر هیدروکسید آلومینیوم با ابعاد اولیه ۱۵ نانومتر با خلوص ۹۹٪ ساخت شرکت Nanoamor<sup>۱</sup> آمریکا، دیسپرس کننده مایع ۱۹۰ Disperbyk (دارای پایه کوپلیمری) و ساخت شرکت BYK آلمان، نمک سیترات سدیم ۱۰۰٪ ساخت شرکت مرک آلمان که به همراه پراکنده کننده هر دو جهت فرآیند پراکنده‌سازی<sup>۲</sup> و رنگزای راکتیو ۲۱ C.I. Blue ۲۱ ساخت شرکت وگشیدر<sup>۳</sup> آلمان استفاده شده است.

### ۲-۲-روش کار

**پراکنده‌سازی نانوهیدروکسید آلومینیوم:** تکمیل‌های کالاهای نساجی عموماً در محیط آبی صورت می‌گیرد اما هیدروکسید آلومینیوم و به تبع آن نانو پودر هیدروکسید آلومینیوم در آب نامحلول می‌باشد. از این رو به منظور انجام تکمیل تأخیرانداز آتش می‌باشد که نانو پودر هیدروکسید آلومینیوم به صورت پراکنده در آب درآورده شود تا امکان اعمال آن بر روی کالای پنبه‌ای فراهم شود. بدین منظور ابتدا حمام‌هایی مطابق جدول ۱ تهیه شد.

1- Nanoamor  
2- Dispersion  
3- Wegscheider

### ۱- مقدمه

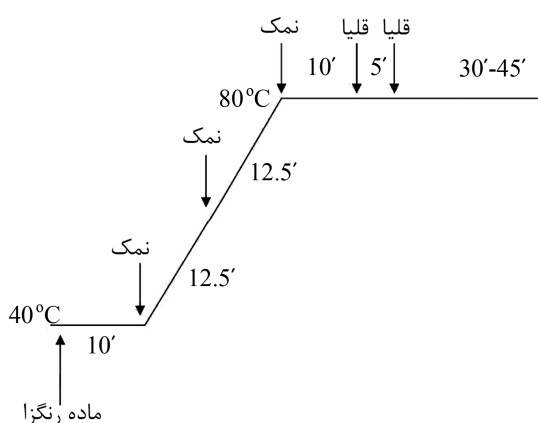
نانوتکنولوژی فناوری نوین میان رشته‌ای است که در دهه‌های اخیر باعث شکوفایی و جهش عظیم در بسیاری از حوزه‌ها مانند نساجی، علم مواد، مکانیک، الکترونیک، پزشکی، انرژی، هوافضا و غیره شده است. اساس نانوتکنولوژی را می‌توان بر پایه تغییرات ساختاری بر روی مواد در مقیاس نانو بیان کرد. وقتی که مقیاس بزرگ به مقیاس کوچکتر در محدوده نانو تغییر می‌یابد، ذراتی منحصر به فرد با خصوصیاتی غیر قابل پیش‌بینی مشاهده می‌شود، که با ویژگی نهایی مواد اصلی نفاوت‌های بارزی دارد. در حال حاضر صنعت نساجی نیز تحت الشعاع نانوتکنولوژی قرار گرفته است. تحقیقات نانوتکنولوژی در بهبود کارآیی و کسب خصوصیات بی‌نظیر در محصولات نساجی، پیشرفت‌های مؤثری را ایجاد کرده است. قالب این تحقیقات در استفاده از مواد در مقیاس نانو و تولید ساختارهای نانو در طی فرآیند تولید و مراحل تکمیل منسوجات متمرکز شده است [۱].

الیاف پنبه با توجه به مزایای متعددی همچون جذب رطوبت بالا، زیر دست مناسب، استحکام بالا و غیره، به طور گسترده‌ای مورد استفاده قرار می‌گیرند. اما یکی از مشکلات این الیاف قابلیت اشتعال پذیری بالای آنها می‌باشد. یکی از راههای کاهش میزان این اشتعال پذیری استفاده از تکمیل‌های تأخیرانداز آتش است [۲]. این امر توسط مواد تأخیرانداز آتش مختلفی صورت می‌پذیرد که از جمله آن می‌توان به ترکیبات هالوژنی، فسفردار و ترکیبات غیر آلی اشاره نمود. هر دسته از این مواد با مکانیسمی خاص مقاومت کالا را در برابر شعله افزایش می‌دهند [۳]. به عنوان مثال ترکیبات فسفردار در فاز جامد عمل نموده و با افزایش میزان تشکیل لایه خاکستر و همچنین کاهش تولید گازهای اشتعال پذیر عمل می‌نمایند درحالی که ترکیبات هالوژنی در فاز گاز عمل می‌کنند و عدمه فعالیت آنها قطع کردن فرآیند تولید رادیکال‌های آزادی است که مسؤول تولید و ادامه فرآیند سوختن می‌باشند [۴].

مواد تأخیرانداز آتش هالوژنی و فسفردار در کنار تمام مزیت‌های همچون قیمت ارزان و تنوع ترکیبات، دارای مشکلاتی نیز هستند که مهمترین آنها سمی بودن و مشکلات زیست محیطی می‌باشد. از این رو استفاده از این ترکیبات در کشورهای پیشرفته ممنوع شده است و به عنوان جایگزین آنها به طور گسترده از ترکیبات تأخیرانداز آتش غیرآلی استفاده می‌کنند [۵]. هیدروکسیدهای فلزی گسترده‌ترین گروه مواد تأخیرانداز آتش را که امروزه به صورت تجاری استفاده قرار می‌گیرند، تشکیل می‌دهند. این مواد به تنهایی و یا به همراه مواد تأخیرانداز آتش دیگر میزان بهبودی لازم در خصوصیات آتش پذیری را ایجاد می‌کنند [۶]. هیدروکسید آلومینیوم که به نام تری‌هیدرات آلومنیا (ATH) نیز شناخته می‌شود، امروزه بیشترین حجم مصرفی را به عنوان ماده تأخیرانداز آتش دارا می‌باشد. این ماده هنگامی که تا

جدول ۱: نسخه حمام‌های عملیات معلق سازی نانوهیدروکسید آلمینیوم.

حمام	نانوهیدروکسید آلمینیوم (گرم)	پراکنده کننده (میلی‌لیتر)	سیترات سدیم (گرم)	آب مقطر (میلی‌لیتر)	نام
۱	۵	۱۰	۱۰	۱۰۰	
۲	۸	۱۶	۱۶	۱۰۰	
۳	۱۲	۲۴	۲۴	۱۰۰	



شکل ۱: نمودار عملیات رنگرزی پنبه با رنگزای راکتیو.

۱۰٪ کربنات سدیم و ۱۵٪ نمک با ۲۰:۱ G:L بود تحت عملیات رنگرزی مطابق نمودار نشان داده شده در شکل ۱ قرار گرفتند. نمونه‌های آماده شده توسط میکروسکوپ الکترونی پویشی مدل XL30 ساخت شرکت فیلیپس هلند مورد بررسی قرار گرفت. آنالیز عنصری (EDX) نیز توسط همین دستگاه صورت پذیرفت. آزمون خاکستر باقیمانده که در آن نمونه‌ها تا دمای ۶۰۰ °C حرارت داده شده و در این دما به مدت ۲ ساعت باقی ماندند انجام شد. آنالیز حرارتی TGA توسط دستگاه Perkin Elmer مدل Pyris Diamond با شیب حرارتی ۵ °C/min (SII) و آنالیز DSC توسط دستگاه Perkin Elmer مدل Pyris 6 با شیب حرارتی ۱۰ °C/min صورت گرفتند و آزمون اسپکتروفوتومتر انعکاسی توسط دستگاه Color-Eye 7000A ساخت شرکت Gretag Macbeth و تحت منبع نوری D65 و زاویه دید ۱۰° انجام شد که نتایج این آنالیزها در ادامه مورد بحث قرار می‌گیرد.

شکل ۲ نشان دهنده تصویر میکروسکوپ الکترونی پویشی با بزرگنمایی ۲۵۰۰ از سطح نمونه پنبه خام می‌باشد.

پس از آماده شدن هر یک از حمام‌ها، ابتدا به مدت ۲۴ ساعت به آن زمان داده شده سپس طی بک فرآیند دنباله‌دار ابتدا به مدت ۳ دقیقه تحت عمل با همزن مافق صوت S-UP200 Hielscher با توان خروجی ۲۰۰ W قرار گرفته و بلافلصله پس از آن به مدت ۱۲ دقیقه تحت عمل با همزن دور بالا با سرعت چرخش ۱۲۰۰ rpm قرار می‌گیرد. نکته حائز اهمیت در این مرحله استفاده از حمام بخ در تمام طول مدت عملیات است تا بدین وسیله حرارت ایجاد شده در اثر استفاده از همزن‌های مافق صوت و دور بالا کنترل شده و در دمای کمتر از ۱۰ °C نگه داشته شود تا از تجمع نانو ذرات هیدروکسید آلمینیوم جلوگیری شود.

**پوشش دهی الیاف با نانو هیدروکسید آلمینیوم:** پس از حصول روش بهینه پراکنده‌سازی، ۳ غلظت مختلف از محلول پراکنده شده نانو هیدروکسید آلمینیوم در آب مقطر شامل ۰.۵٪، ۰.۸٪ و ۱٪ وزنی تهیه شد. سپس نمونه‌های پارچه پنبه‌ای به طور جداگانه به روش «پد - خشک شدن - پخت»<sup>۱</sup> مورد عمل با هرکدام از غلظت‌های مختلف ATH قرار گرفتند. در گروه آزمون‌های اول نمونه‌ها یک بار پد شده و سپس در دمای محیط خشک شدند و پس از آن پخت شدند. در گروه آزمون‌های بعدی نمونه‌ها سه بار پد شده و پس از خشک شدن در دمای محیط، پخت شدند. در فرآیندی متفاوت که شامل شکل‌گیری<sup>۲</sup> می‌باشد نمونه‌ها ابتدا در محلول به مدت ۱۰ ساعت پوشش دهی شدند و سپس تحت عملیات پد و پخت قرار گرفتند. در تمام آزمون‌ها زمان خشک شدن نمونه‌ها در محیط ۳۰ دقیقه بوده و عملیات پخت به مدت ۵ دقیقه و در دمای ۱۴۰ °C انجام شد.

**رنگرزی:** به منظور بررسی اثر پوشش نانو هیدروکسید آلمینیوم بر رنگ کالای پنبه‌ای، نمونه‌های ۱ گرمی پنبه‌ای توسط شکل‌گیری راکتیو آبی رنگ در حمامی که حاوی ۱٪ ماده رنگزا،

### ۳- نتایج و بحث

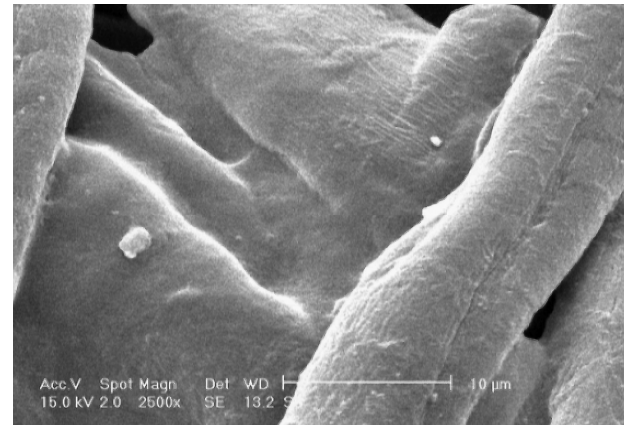
- 1- Agglomeration
- 2- Pad-Dry-Cure
- 3- Formation

فرآیند آنالیز EDX توسط میکروسکوپ الکترونی پویشی انجام می‌شود و در آن ابتدا نمونه تحت بمباران الکترونی قرار می‌گیرد و سپس امواج X-Ray ساطع شده از سطح نمونه توسط دستگاه موردنالیز قرار می‌گیرد. از این روش جهت اندازه‌گیری درصد ترکیبات فلزی قرار گرفته در سطح نمونه استفاده می‌شود. شکل ۴ نشان دهنده آنالیز عنصری الیاف عمل شده با محلول نانو هیدروکسید آلومینیوم به مدت ۱۰ ساعت می‌باشد. با توجه به شکل مشاهده می‌شود که درصد بالایی از ذرات قرار گرفته روی سطح نمونه حاوی عنصر آلومینیوم بوده و دارای پیکی شدید در منحنی می‌باشد. پیک شدید دیگری که در شکل دیده می‌شود مربوط به عنصر طلا می‌باشد که برای پوشش‌دهی نمونه جهت تصویربرداری میکروسکوپ الکترونی به کار برده شده است.

آزمون خاکستر باقیمانده که به منظور اندازه‌گیری نمک‌های معدنی و دیگر مواد غیر آلی در نمونه الیاف می‌باشد در مورد نمونه خام و نمونه‌های سه بار پد شده از هر سه غلظت صورت گرفت. همچنین این آزمایش در مورد حالت‌های مختلف از نمونه ۱۲٪ (۱ بار پد، ۳ بار پد، شکل‌دهی شده و شکل‌دهی شده و شستشو داده شده) نیز انجام شد. میزان درصد خاکستر باقیمانده را می‌توان از رابطه ۱ به دست می‌آورد.

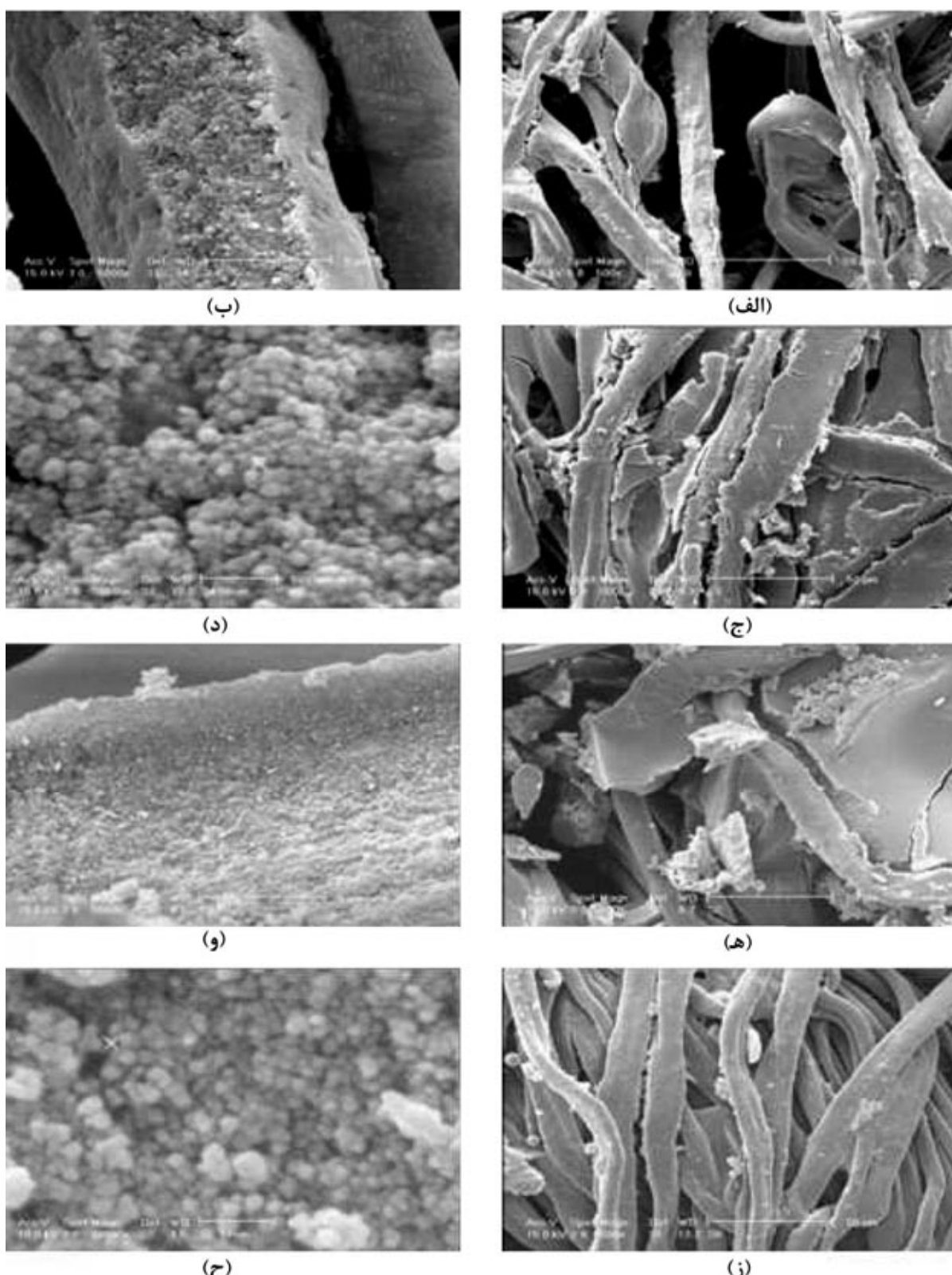
$$\text{Ash Content \%} = \frac{A}{B} \times 100 \quad (1)$$

که در آن A وزن خاکستر به گرم و B وزن نمونه اولیه به گرم می‌باشد. مقادیر مربوط به آزمون خاکستر هر کدام از غلظت‌ها در شکل ۵ نشان داده شده است. همان‌طور که در شکل ۵ مشخص است میزان خاکستر باقیمانده نمونه‌های عمل‌آوری شده با نانو هیدروکسید آلومینیوم در مقایسه با نمونه خام افزایش قابل توجهی یافته است به طوری که این میزان از ۱٪ در حالت خام به ۱۷,۵۶٪ در نمونه عمل‌آوری شده با هیدروکسید آلومینیوم با غلظت ۵٪ افزایش یافته است. همچنین با افزایش درصد ماده ضدائش به کار برده شده، میزان خاکستر باقیمانده کالا نیز افزایش یافته است و مقدار خاکستر برای نمونه‌های عمل شده با محلول‌های با غلظت ۸٪ و ۱۲٪ به ترتیب ۳۱,۰۹٪ و ۲۲,۱۷٪ افزایش یافته که این خود نشان دهنده افزایش میزان جذب نانو هیدروکسید آلومینیوم به عنوان ماده تأخیرانداز شعله بر روی سطح پارچه پنبه‌ای می‌باشد.



شکل ۲: تصویر میکروسکوپ الکترونی از سطح نمونه پنبه خام با بزرگنمایی ۲۵۰۰.

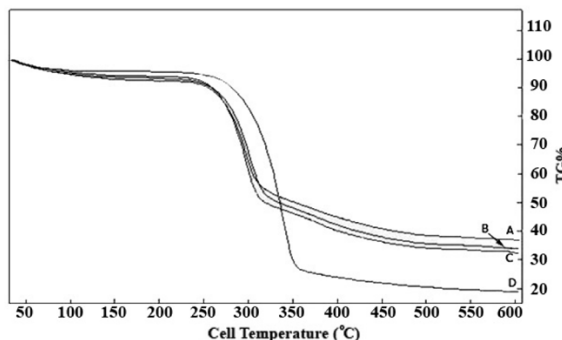
همانگونه که در شکل ۲ دیده می‌شود سطح نمونه خام پنبه‌ای صاف بوده و در قسمت‌هایی از آن به طور جزئی ناخالصی‌هایی وجود دارد که فرآیند شستشو به طور کامل این ناخالصی‌ها را جدا نکرده است. در شکل ۳ (الف-ی) تصاویر میکروسکوپ الکترونی از سطح نمونه‌های عمل شده با غلظت‌های مختلف نانوهیدروکسید آلومینیوم در بزرگنمایی‌های ۵۰۰ و ۵۰۰۰ و ۳۰۰۰۰ برابر دیده می‌شود. تصاویر (۳-الف) و (۳-ب) بترتیب با بزرگنمایی‌های ۵۰۰ و ۵۰۰ برابر مربوط به نمونه‌های عمل شده با غلظت ۵٪ می‌باشد. همانگونه که مشاهده می‌شود نانوذرات هیدروکسید آلومینیوم بر روی سطح نمونه قرار گرفته و در بزرگنمایی ۵۰۰۰ نحوه تجمع این ذرات و تشکیل لایه‌های چندگانه قابل مشاهده است. این وضعیت در تصاویر (۳-ج) و (۳-د) که متعلق به غلظت ۸٪ نیز مشاهده می‌شود. همچنین در بزرگنمایی ۳۰۰۰۰ برابر اندازه نانو ذره مشخص شده برابر ۵۶ نانومتر است که نشان از معلق سازی مناسب نانو پودر در محلول دارد. تصاویر (۳-ه) و (۳-و) که بزرگنمایی‌های ۵۰۰ و ۵۰۰۰ از نمونه عمل شده با غلظت ۱۲٪ نانو هیدروکسید آلومینیوم می‌باشد، نیز روند تقریباً مشابهی را نشان می‌دهند. با توجه به این تصاویر می‌توان نتیجه گرفت افزایش میزان غلظت نانو هیدروکسید آلومینیوم در حمام موجب افزایش سطح پوشش داده شده از نمونه توسط نانوهیدروکسید آلومینیوم شده است. تصاویر (۳-ز) و (۳-ح) مربوط به نمونه پوشش‌دهی شده توسط نانوهیدروکسید آلومینیوم با غلظت ۱۲٪ می‌باشد که به مدت ۱۰ ساعت عمل‌آوری (formation) شده است. می‌توان در این تصاویر تأثیر افزایش زمان عمل‌آوری در افزایش مقدار و اندازه تجمعات نانوذرات بر روی سطح کالا را مشاهده نمود.



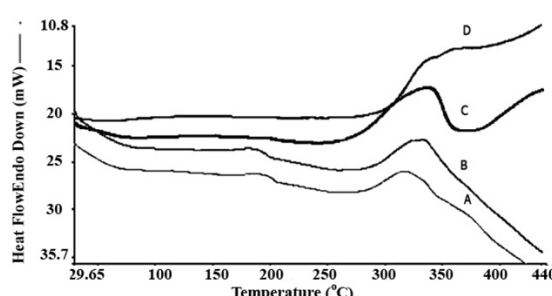
شکل ۳: تصاویر میکروسکوپ الکترونی مربوط به نمونه‌های عمل شده با نانوهیدروکسید آلمینیوم (الف ، ب) غلظت ۵٪ با بزرگنمایی ۵۰۰ و ۵۰۰۰ برابر، (ج ، د) غلظت ۸٪ با بزرگنمایی ۵۰۰ و ۳۰۰۰ برابر، (ه ، و) غلظت ۱۲٪ با بزرگنمایی ۵۰۰ برابر و (ز ، ح) غلظت ۱۲٪ با بزرگنمایی ۵۰۰ و ۳۰۰۰۰ برابر.

در شکل ۶ مقادیر خاکستر باقیمانده حاصل از نمونه‌های الیاف عمل آوری شده با ماده تأخیرانداز آتش (غلظت ۱۲٪) و در شرایط آزمایش مختلف نشان داده است. همان‌گونه که دیده می‌شود با افزایش تعداد دفعات پد از ۱ بار به ۳ بار خاکستر باقیمانده از الیاف از ۲۶,۲۴٪ به ۳۱,۰۸٪ افزایش یافته که نشان دهنده افزایش رسوب و انباستگی نانو هیدروکسید آلومنیوم بر روی الیاف پنbe می‌باشد. با افزایش زمان پوشش دهی به ۱۰ ساعت میزان خاکستر باقیمانده به ۳۴,۲۱٪ افزایش یافت که بهوضوح نشان دهنده افزایش کشش سطحی و تشکیل لایه‌های بیشتر نانو هیدروکسید آلومنیوم بر روی سطح کالا و افزایش وزن نمونه شده است. با شستشوی نمونه پوشش داده شده بمدت ۱۰ ساعت میزان نانوهیدروکسید آلومنیوم باقیمانده بر روی پارچه به ۲۱,۰۳٪ کاهش یافته است. این امر بیان کننده آن است که کریستالهایی که پیوستگی کافی با سطح کالا نداشته‌اند در اثر شستشو از سطح پارچه جدا شده‌اند.

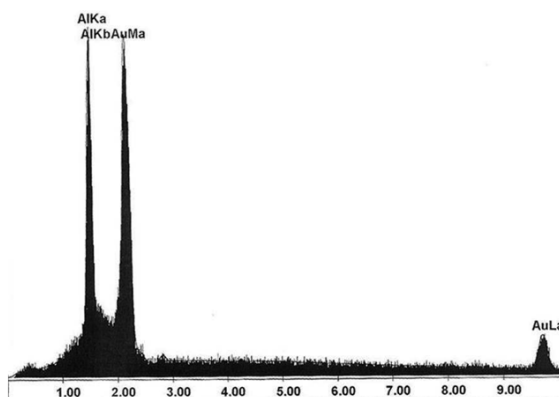
آنالیز حرارتی TGA و DSC نمونه‌های پنbe ای عمل شده با تمامی غلظتهاي ۰.۵٪، ۰.۸٪ و ۱۲٪ و همچنین نمونه کالای پنbe ای خام در شکل‌های ۷ و ۸ نشان داده است و شامل سه مرحله: آغازین، اصلی و تشکیل خاکستر می‌باشد. دمای حرارت مرتبط، سرعت و



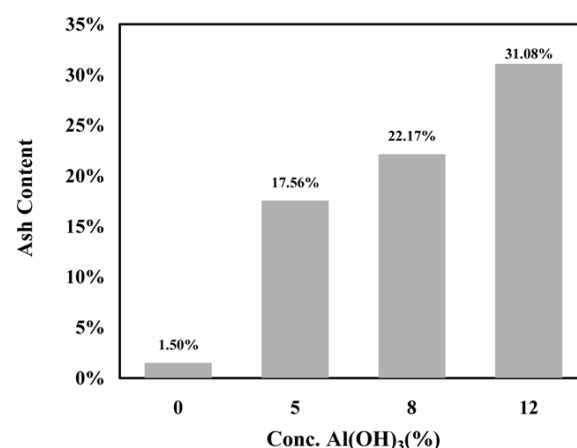
شکل ۷: نمودار TGA نمونه عمل آوری شده با نانوهیدروکسید آلومنیوم (A)، (B)، (C)، (D) و نمونه خام.



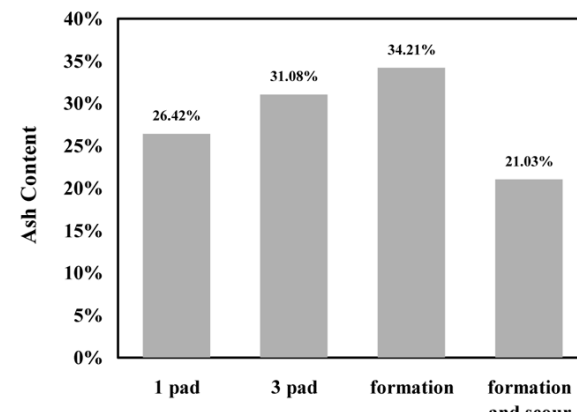
شکل ۸: نمودار DSC نمونه عمل آوری شده با نانوهیدروکسید آلومنیوم (A)، (B)، (C)، (D) و نمونه خام.



شکل ۴: آنالیز عنصری (EDX) کالای سلولزی پوشش داده با



شکل ۵: نمودار درصد خاکستر باقیمانده برای غلظتهاي مختلف از نانوهیدروکسید آلومنیوم و همچنین نمونه خام.



شکل ۶: نمودار درصد خاکستر باقیمانده حالت‌های مختلف از غلظت ۱۲٪ نانوهیدروکسید آلومنیوم.

به تجزیه هیدروکسید آلمینیوم به آب و اکسید آلمینیوم نسبت داد. تغییر رفتار نمونه‌ها در محدوده دمایی بالا (مرحله تشکیل خاکستر) را می‌توان به افزایش غلظت نانو هیدروکسید آلمینیوم بر روی سلولز نسبت داد. نکته قابل توجه در منحنی DSC در مورد کاهش مساحت پیک‌های گرمایزا با افزایش غلظت مصرفی نانو هیدروکسید آلمینیوم می‌باشد. این امر به دلیل افزایش سطح پوشش داده شده از نمونه پنبه‌ای توسط نانو هیدروکسید آلمینیوم با افزایش غلظت و در نتیجه آن تشکیل لایه محافظ گستردگی از خاکستر و اکسید آلمینیوم در اثر تجزیه آن می‌باشد که موجب کاهش تخریب در ساختمان پلیمری پنبه می‌شود. همین طور بایستی به تفاوت رفتار در قسمت انتهایی منحنی DSC نمونه‌های عمل‌آوری شده با غلظت‌های ۸٪ و ۱۲٪ با سایر نمونه‌ها توجه نمود که با نتایج به دست آمده از آزمون سوختن ۴۵ درجه هماهنگی خوبی دارد. در آزمون سوختن ۴۵ درجه تمامی طول ۱۲,۵ cm نمونه پنبه عمل نشده ظرف مدت ۱۵,۳ ثانیه به طور کامل سوخت لیکن نمونه‌های پنبه‌ای پوشش داده شده با نانو هیدروکسید آلمینیوم رفتار متفاوتی نشان دادند. نمونه عمل‌آوری شده با غلظت ۵٪ نانو هیدروکسید آلمینیوم پس از گذشت ۳,۱۲ ثانیه و سوخته شدن ۸,۴۵ cm از طول آن خاموش شد. این مقدار برای نمونه عمل‌آوری شده با غلظت ۸٪ بهبود یافت به طوری که نمونه پس از گذشت ۱,۸۷ ثانیه و سوخته شدن ۱۳ cm از طول آن خاموش گردید. نمونه عمل‌آوری شده با غلظت ۱۲٪ نانو هیدروکسید آلمینیوم در مدت زمان استاندارد تماس شulle با نمونه پارچه‌ای آتش نگرفت. به طور خلاصه تفاوت عملکرد کالای سلولزی عمل‌آوری شده با نانو هیدروکسید آلمینیوم بهوضوح در نمودارهای TGA و DSC مشهود است که نشان‌دهنده موقفيت فرآيند ديرسوز نمودن کالاي پنبه‌ای می‌باشد. نتایج مربوط به این آزمون‌ها در جدول ۲ نشان داده شده است.

جدول ۲: نتایج مربوط به آزمون‌های TGA و DSC نمونه‌ها.

نمونه	کاسته شده (%)	کل وزن	دهای آغاز	مساحت پیک‌های گرمایزی منحنی
	*	**	مرحله اصلی	تخریب (°C)
	(%)	(cm <sup>2</sup> ) DSC		
عمل‌آوری نشده	۸۰,۱	۲۸۰	-----	
عمل‌آوری شده با غلظت ۵٪	۶۷,۱	۲۳۵	۳۰,۴	
عمل‌آوری شده با غلظت ۸٪	۶۵,۲	۲۳۵	۱۵,۲	
عمل‌آوری شده با غلظت ۱۲٪	۶۲,۶	۲۳۵	۹,۵	
از آزمون DSC <sup>†</sup> ; ** از آزمون TGA <sup>‡</sup>				

میزان وزن از دست رفته در هریک از مرحله‌ها از نمودار TGA قابل تشخیص است. نمودار D متعلق به نمونه پنبه خام می‌باشد که در مرحله آغازین آن که تقریباً قبل از دمای ۲۶۰ °C می‌باشد مهترین تغییرات ایجاد شده در الیاف، بعضی از خصوصیات فیزیکی و همچنین مقدار کمی کاهش وزن می‌باشد. در این مرحله بیشتر آسیب‌های واردہ به الیاف سلولزی در بخش بی‌شکل ساختمان پلیمری آن می‌باشد. مرحله اصلی در محدوده دمایی ۲۸۰-۳۵۰ °C صورت می‌گیرد که طی آن تخریب شدیدی در نمونه رخ داده و بیش از ۷۰٪ از وزن نمونه در اثر از دست رفتن آب پنبه و همچنین اکسیداسیون و تشکیل حجم عظیمی از گازهای اشتعال‌پذیر، کاهش می‌باشد. بیشترین تخریب در این مرحله در بخش کریستالی ساختمان پلیمری الیاف پنبه رخ می‌دهد. منحنی DSC نمونه پنبه خام نیز روند مشابهی را طی کرده و در همین محدوده پیک گرمایزی شدیدی را با ماکزیمم ۳۳۵,۷ °C نشان می‌دهد که در نهایت بسته تخریب نمونه پیش می‌رود. مرحله تشکیل خاکستر در محدوده حرارتی ۴۱۰-۶۰۰ °C رخ می‌دهد و طی آن در حدود ۱۰٪ از وزن نمونه کاسته می‌شود که ناشی از اکسید شدن باقی مانده‌های کربنی تشکیل شده در مرحله قبل می‌باشد و در نهایت در حدود ۱۰,۱۰٪ از وزن اولیه نمونه کاسته می‌شود. نمودار TGA نمونه‌های سلولزی عمل‌آوری شده با ماده تأخیرانداز شعله (A,B,C) نیز مشابه نمونه خام می‌باشد با این تفاوت که مرحله دوم تجزیه در محدوده دمایی پایین‌تری (۲۶۰-۳۲۰ °C) آغاز می‌شود. این تغییر رفتار حرارتی را می‌توان به وجود ماده تأخیرانداز شعله نانو هیدروکسید آلمینیوم نسبت داد که در دمای حدود ۲۲۰ °C به اکسید آلمینیوم و آب تجزیه می‌شود و در نتیجه آزاد شدن آب در این دما کاهش جزئی وزن در نمونه‌های عمل‌آوری شده در مقایسه با نمونه خام صورت می‌گیرد. در ادامه با تشکیل لایه‌ای محافظت از اکسید آلمینیوم بر روی سطح کالا میزان کاهش وزن نمونه‌ها کمتر می‌شود. همان طور که در شکل ۷ نیز دیده می‌شود میزان وزن از دست رفته تمامی نمونه‌های عمل‌آوری شده با نانو هیدروکسید آلمینیوم در مقایسه با نمونه عمل‌آوری نشده کاهش چشمگیری یافته است. همچنین با افزایش میزان غلظت ماده ضد آتش مصرفی این میزان از دست رفتن وزن کاهش می‌باشد.

نتایج DSC نمونه‌های خام و عمل‌آوری شده با نانو هیدروکسید آلمینیوم تأیید کننده نتایج TGA می‌باشد. همان‌گونه که مشاهده می‌شود رفتار گرماسنجی نمونه‌های عمل شده با تأخیرانداز آتش با نمونه خام متفاوت است. با افزایش میزان غلظت نانو هیدروکسید آلمینیوم تغییرات رفتار نمونه‌ها خصوصاً در ناحیه دمای کمتر از ۲۰۰ °C (مرحله اول: آغازین) و محدوده دمای ۳۰۰-۳۵۰ °C (مرحله اصلی) بهوضوح مشاهده می‌شود. همچنین در مرحله اصلی جابجاگی صورت گرفته در پیک‌های گرمایزا در نمونه‌های عمل شده با نانو هیدروکسید آلمینیوم در مقایسه با نمونه عمل‌آوری نشده را می‌توان

اختلاف رنگ ( $\Delta E^*$ ) مربوط به نمونه ۵٪ یک بار پد شده و کمترین مقدار آن مربوط به نمونه ۱۲٪ یک بار پد شده می‌باشد.

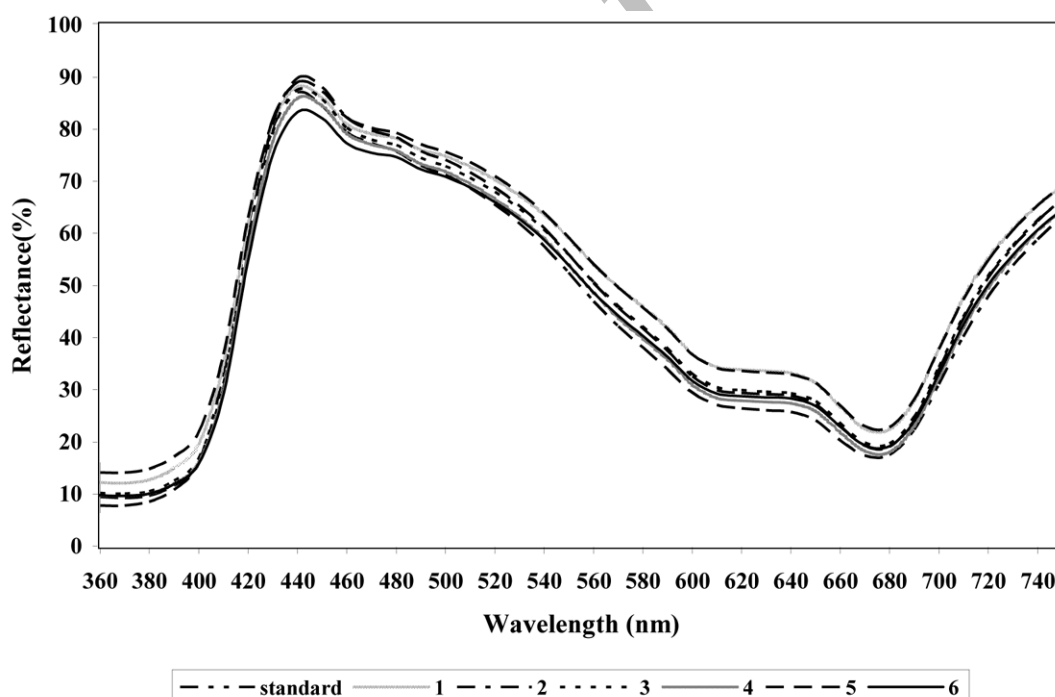
شکل ۹ منحنی تغییرات انعکاس نمونه‌ها در ناحیه مرئی (۳۵۰-۷۶۰ nm) را نشان می‌دهد. با توجه به اینکه رنگزای مصرفی آبی رنگ می‌باشد، بیشترین میزان انعکاس در طول موج ۴۴۰ نانومتر و کمترین میزان انعکاس در طول موج ۶۸۰ نانومتر رخ می‌دهد.

نمودار انعکاسی نمونه‌ها هم نشان دهنده آن است که منحنی نمونه‌های عمل شده در مقایسه با نمونه عمل نشده تغییر خاصی نکرده و تقریباً منحنی‌ها بر روی یکدیگر منطبق هستند. همانگونه که از شکل ۹ مشخص است پوشش هیدروکسید آلمینیوم تأثیر قابل ملاحظه‌ای در طیف انعکاسی نمونه نداشته و  $\lambda_{max}$  ثابت باقی مانده است. لذا رنگ کالا در اثر اعمال پوشش تغییر نمی‌کند.

همانگونه که از نتایج آزمون اسپکتروفوتومتر انعکاسی مشخص است، نانو هیدروکسید آلمینیوم پوشش داده شده بر سطح نمونه‌های رنگزی شده تأثیر نامطلوبی بر رنگ آنها نداشته و در اکثر موارد مؤلفه‌های رنگی آنها مشابه نمونه پوشش داده نشده می‌باشد.

با توجه به اینکه اغلب عملیات تکمیلی برروی پارچه‌ها پس از عملیات رنگرزی صورت می‌گیرد تعدادی از نمونه‌ها ابتدا با رنگزای آبی راکتیو 21 C.I. Blue آلمینیوم مورد پوشش دهی قرار گرفتند پس از آن نمونه‌ها تحت آزمون اسپکتروفوتومتری انعکاسی قرار گرفتند تا اثر نانو هیدروکسید آلمینیوم بر رنگ کالا بررسی شود که نتایج مربوط به این آزمون در جدول ۳ نشان داده شده است.

همانگونه که در جدول ۳ دیده می‌شود سطح روشنای (L\*) نمونه‌های پوشش داده شده با نانو هیدروکسید آلمینیوم در مقایسه با نمونه پوشش داده نشده به میزان کمی افزایش یافته است. با افزایش غلظت مصرفی از نانو هیدروکسید آلمینیوم میزان L\* تغییر قابل ملاحظه‌ای نمی‌کند. مقادیر a\* و b\* نمونه‌ها حاکی از آن است که تمامی نمونه‌ها در ناحیه سبز-آبی قرار دارند و با اعمال نانو هیدروکسید آلمینیوم به میزان ۵٪ سبزی نمونه‌ها اندکی کمتر شده است ولی در مورد سایر غلظت‌ها تفاوت معنی‌داری دیده نمی‌شود. همچنین مقدار آبی (b\*) در نمونه عمل آوری شده با ۵٪ نانو هیدروکسید آلمینیوم نیز کاهش جزئی یافته است. بیشترین میزان



شکل ۹: منحنی تغییرات انعکاس نسبت به طول موج نمونه‌های عمل آوری شده با نانو هیدروکسید آلمینیوم در مقایسه با نمونه عمل آوری نشده.

جدول ۳: مقادیر مؤلفه‌های رنگی نمونه‌های رنگرزی شده و سپس پوشش داده شده با نانوهیدروکسید آلومینیوم در مقایسه با نمونه پوشش داده نشده.

$\Delta E^*$	b*	a*	L*	نمونه
-----	-۲۳,۷۵	-۱۸,۶۱	۷۶,۷۶	پوشش داده نشده
۶,۱۴	-۱۹,۰۳	-۱۶,۸۳	۸۰,۲۶	۱ بار پد شده
۵,۷۲	-۱۹,۶۲	-۱۷,۰۹	۸۰,۴۰	۳ بار پد شده
	-۲۲,۱۳	-۱۸,۴۲	۷۸,۶۹	۱ بار پد شده
۲,۵۳	-۲۱,۰۳	-۱۸,۰۲	۷۸,۵۵	۳ بار پد شده
	-۲۱,۷۴	-۱۸,۹۰	۷۷,۵۲	۱ بار پد شده
۳,۳۱	-۲۰,۲۷	-۱۸,۵۸	۷۷,۴۶	۳ بار پد شده
	-۲۰,۲۷	-۱۸,۵۸	۷۷,۴۶	٪ ۱۲

سلولزی را داشته و این خصوصیت با افزایش غلظت ماده مصرفی افزایش می‌یابد. آزمون اسپکتروفوتومتر انعکاسی نیز نشان داد پوشش دهی الیاف سلولزی رنگرزی شده توسط نانوهیدروکسید آلومینیوم تأثیر چشمگیری بر رنگ نمونه نداشته است.

#### تقدیر و تشکر

از مسؤولین باشگاه پژوهشگران جوان دانشگاه آزاد اسلامی واحد تهران جنوب که حمایت‌های لازم جهت انجام این تحقیق را به عمل آورده‌ند صمیمانه تشکر و قدردانی می‌شود.

#### ۴- نتیجه‌گیری

نتایج به دست آمده از تصاویر میکروسکوپ الکترونی پویشی و همچنین آنالیز EDX نشان دهنده قرار گرفتن مقادیر زیاد از نانوذرات هیدروکسید آلومینیوم بر سطح کالای پنبه‌ای می‌باشد که با افزایش غلظت نانوهیدروکسید آلومینیوم میزان سطح پوشش داده کالا نیز افزایش یافته. آزمون خاکستر باقیمانده نیز این نتایج را تأیید می‌نماید. همچنین نتایج آزمون TGA و DSC نشان داد که نانوهیدروکسید آلومینیوم، به عنوان یک ماده دیرسوز کننده شعله دوستدار محیط زیست، بخوبی توانایی افزایش مقاومت حرارتی الیاف

#### ۵- مراجع

- M. Kohler, W. Fritzsche, Nanotechnology-An Introduction to Nanostructuring Techniques. (2004), 1-12.
- J. Gordon Cook, Handbook of Textile Fibers. Part I. Natural Fibers, Merrow Publishing Co. Ltd., 1968.
- H. Pelc, Ed. Ullmann's Encyclopedia of Industrial Chemistry,Wiley-Vch, 36, 2003, 86-89.
- S. Nakanishi, F. Masuko, K. Hori, T. Hashimoto, Pyrolytic gas generation of cotton cellulose with and without flame retardants at different stages of thermal degradation:effect of nitrogen,phosphorus, and halogens. *Tex. Res. J.* 70(2000), 574-583.
- B. K. Candela, A. R. Herrick's, D. Price, G. V. Coleman, Flame retardant treatments of cellulose and their influence on the mechanism of cellulose pyrolysis. *J. Micromole. Sic. Rev. Micromole. Chem. Phys.* 36(1996), 721-794.
- G. Camino, G. Nelson, Fire retardant polymeric materials. ACS, 1995, 461.
- K. Daimatsu, H. Sugimoto, Y. Kato, E. Nakanishi, K. Inomata, Y. Amekawa, K. Takemura, Preparation and physical properties of flame retardant acrylic resin containing nano-sized aluminum hydroxide. *Polym. Degrad. Stab.* 92(2007), 1433-1438.